Персонализированная биомеханическая модель коленного сустава пациента с заболеванием гонартроз

Тягунова А.И. (Сеченовский унив.), Юрова А.С. (ИВМ РАН).

Гонартроз

Хроническое дегенеративно-дистрофическое заболевание, характеризующееся:

- Прогрессирующим разрушением гиалинового хряща;
- Изменениями субхондральной кости;
- Развитием воспалительных процессов в синовиальной оболочке.

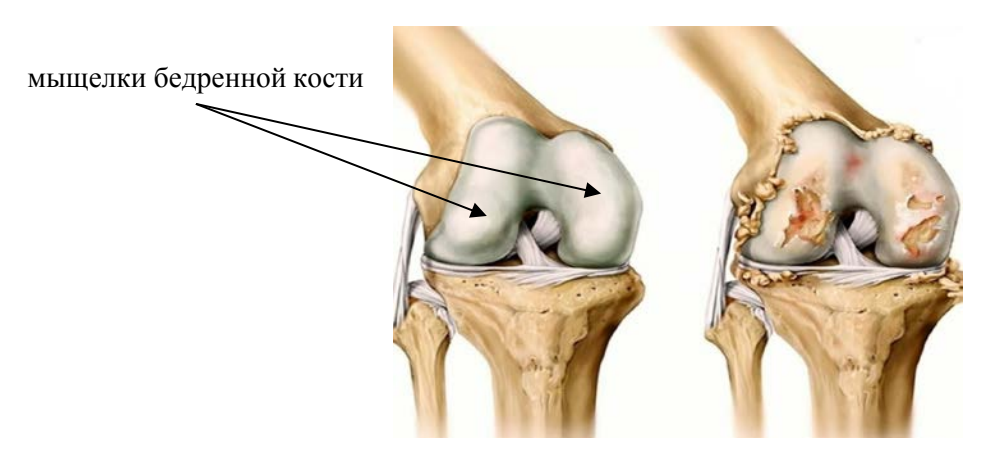


Рис. 1: Гонартроз коленного сустава

Варусная и вальгусная деформация

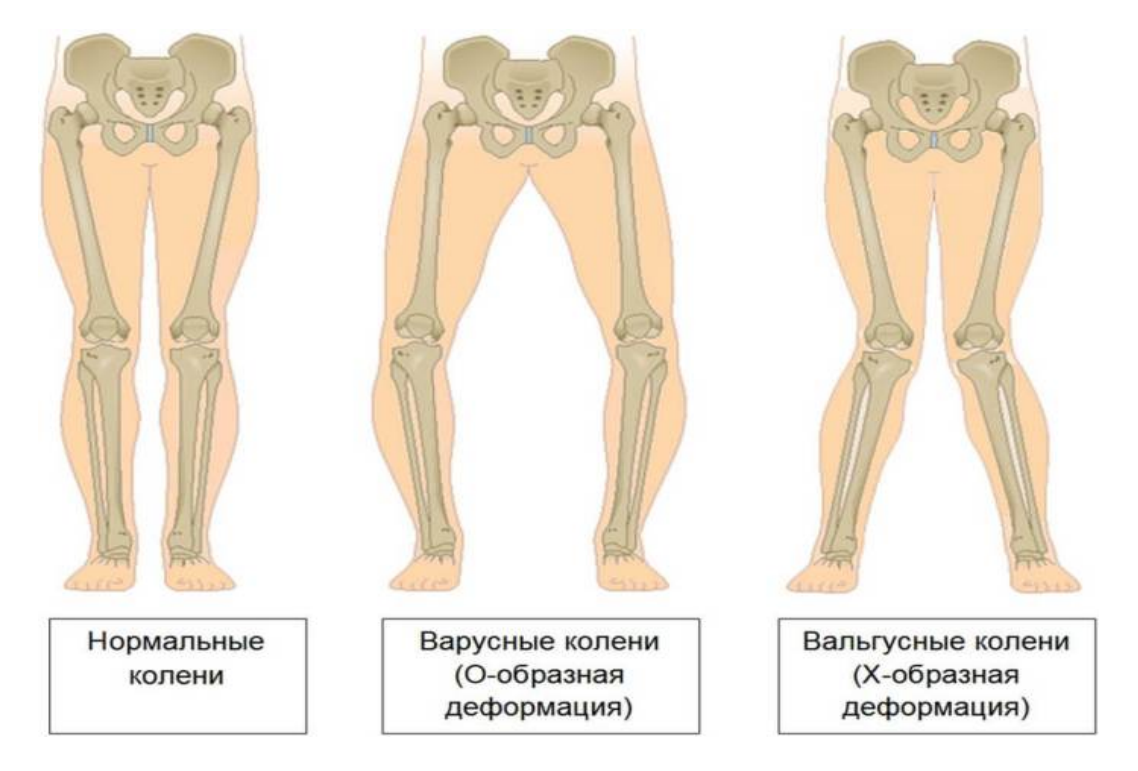


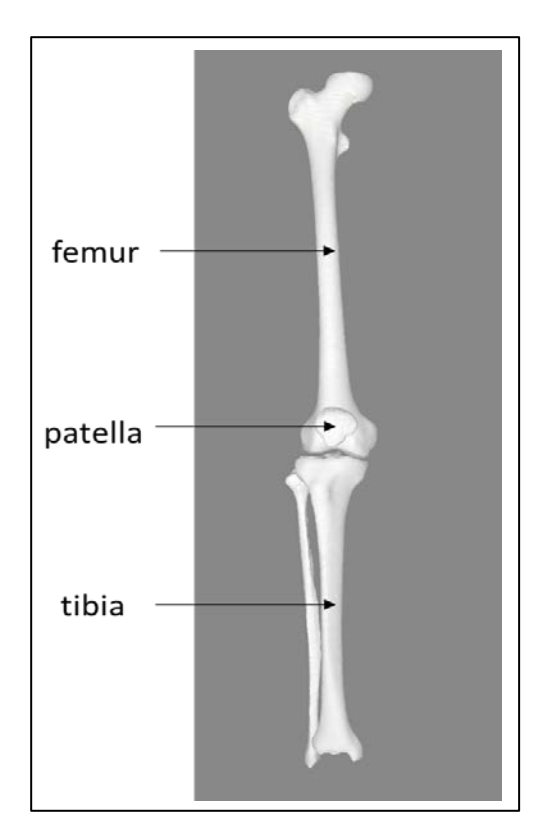
Рис. 2: Варусная и вальгусная деформация коленных суствов

Биомеханическая модель коленного сустава

- Твердые тела (бедренная кость (femur), надколенник (patella), берцовый кости (tibia, fibula));
- Суставы (пателло-феморальный, тибио-феморальный);
- Силы (контактные поверхности, связочный аппарат, мышца, амортизационные силы);
- Ограничивающие тела.

Костная структура модели

- Бедренная кость (femur);
- Надколенник (patella) коленная чашечка;
- Берцовые кости (tibia, fibula).



ground hip_r суставы femur_r knee_r patella_r tibia r

Рис. 4: Суставы

Рис. 3: Костная структура

Построение персонализированной модели. Костная

структура

- 1. Сегментация (ITK-SNAP);
- 2. Построение сеток (ITK-SNAP);
- 3. Изменение параметров сеток (Paraview, GMSH, MeshLab);
- 4. Внедрение сеток в модель коленного сустава в качестве поверхностей твердых тел.



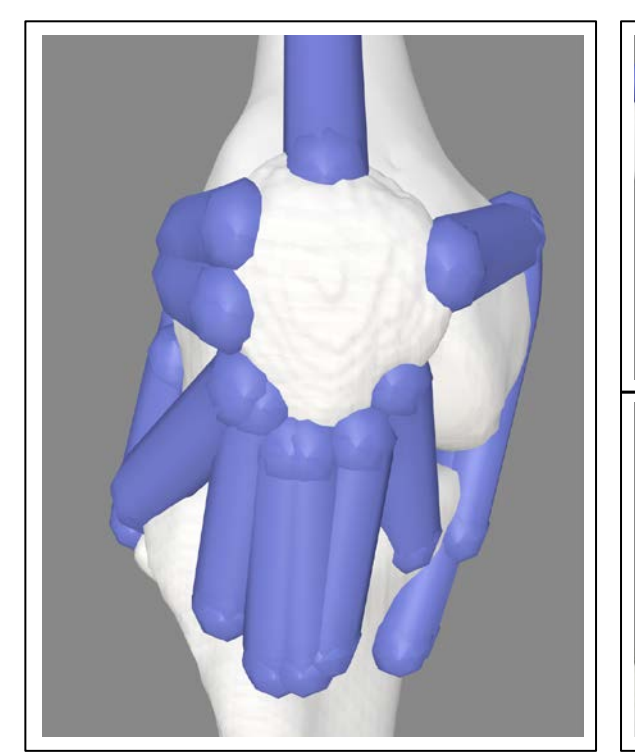
Рис. 5: Сегментация надколенника

Связочный аппарат

Связки – один из видов сил доступных в OpenSim, представлены как тонкие нити с двумя точками крепления.

В модели 24 связки:

- •ACL (2),
- •PCL (2),
- •MCL (5),
- •LCL (1),
- •PFL (1),
- •posterior capsule (4),
- •patellar tendon (3),
- •MPFL,
- •MPTL,
- •retinaculum (4).



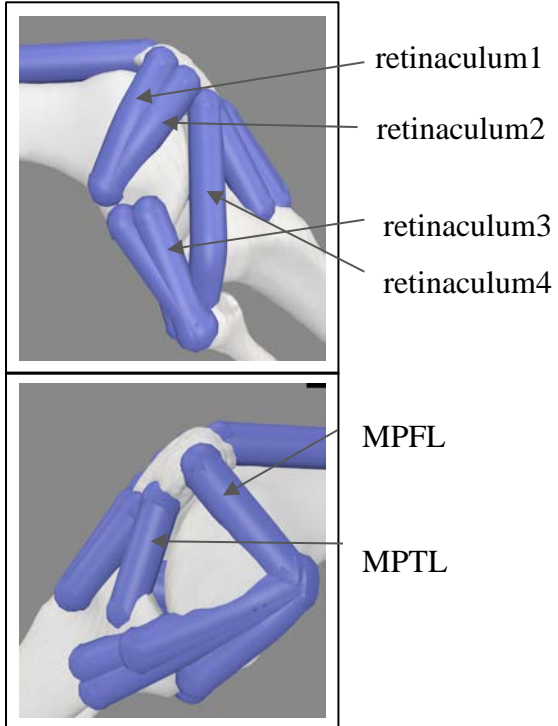


Рис. 6: Связочный аппарат модели

Мышца

В модель включена промежуточная широкая мышца бедра (musculus vastus intermedius).

Эта мышца участвует в разгибании коленного сустава и соединяет бедренную кость с вершиной надколенника.

В модели мышца пассивна и является стабилизатором надколенника.

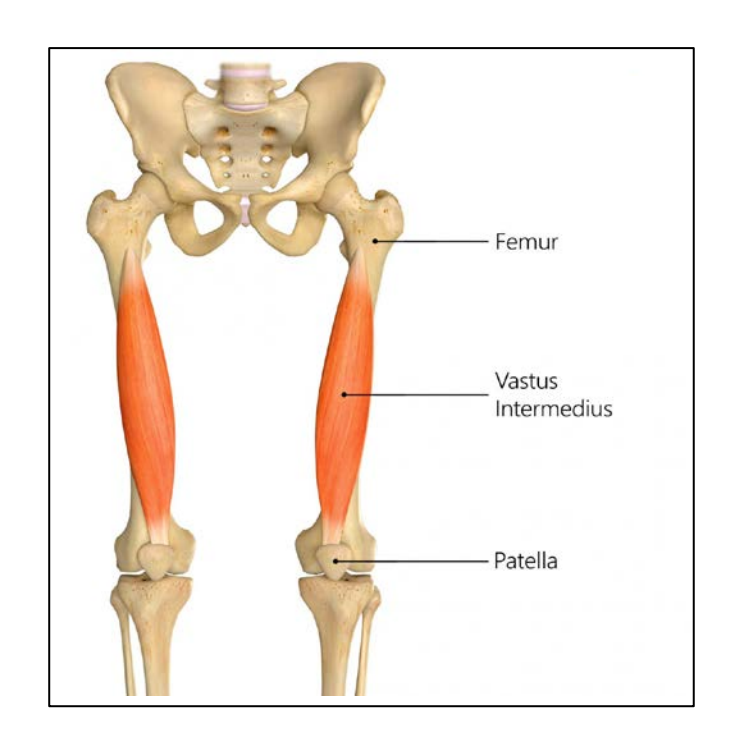


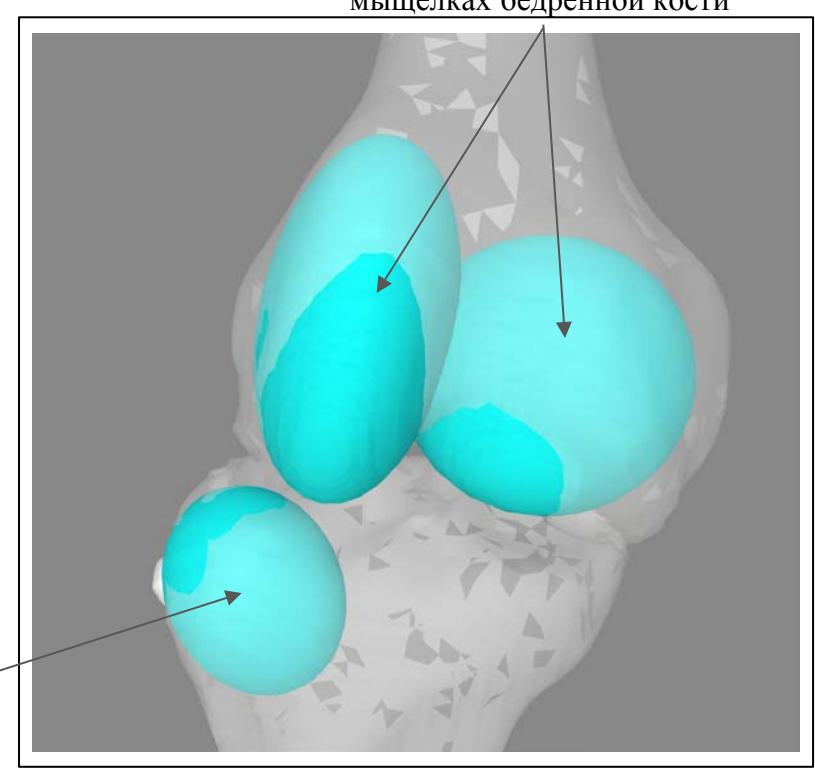
Рис. 7: Промежуточная широкая мышца бедра

Ограничивающие тела

Необходимы для предотвращения прохождения связок через костные структуры.

- •Сфера в латеральном мыщелке бедренной кости;
- •Сфера в медиальном мыщелке бедренной кости;
- •Сфера в латеральной мыщелке берцовой кости;
- •Цилиндр для изгиба мышцы.

ограничивающие тела в мыщелках бедренной кости



ограничивающее тело в мыщелке берцовой кости

Рис. 8: Ограничивающие тела в модели

Контактные поверхности

Модель пациента в гонартрозом:

- на мыщелках бедренной кости (16);
- на внутренней стороне надколенника;
- на мыщелке берцовой кости (2).

Модель физиологической нормы:

- на мыщелках бедренной кости (2);
- на внутренней стороне надколенника;
- мениски (8);
- на мыщелке берцовой кости (2).

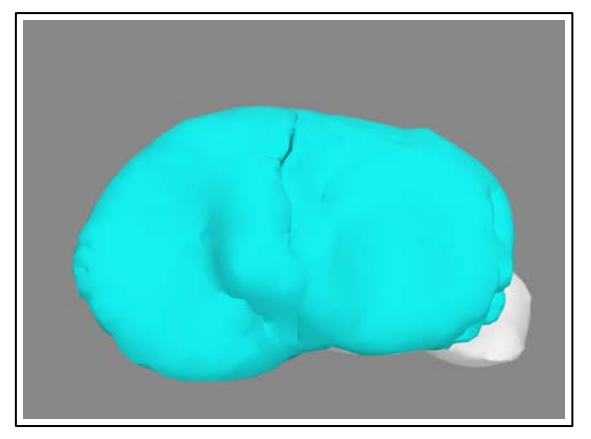


Рис. 9: Контактные поверхности на берцовой кости

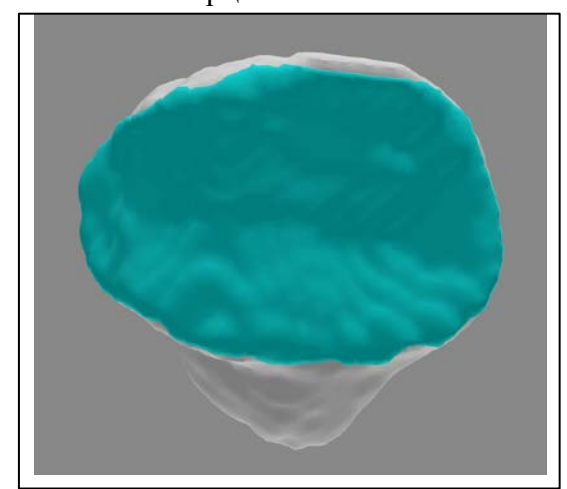
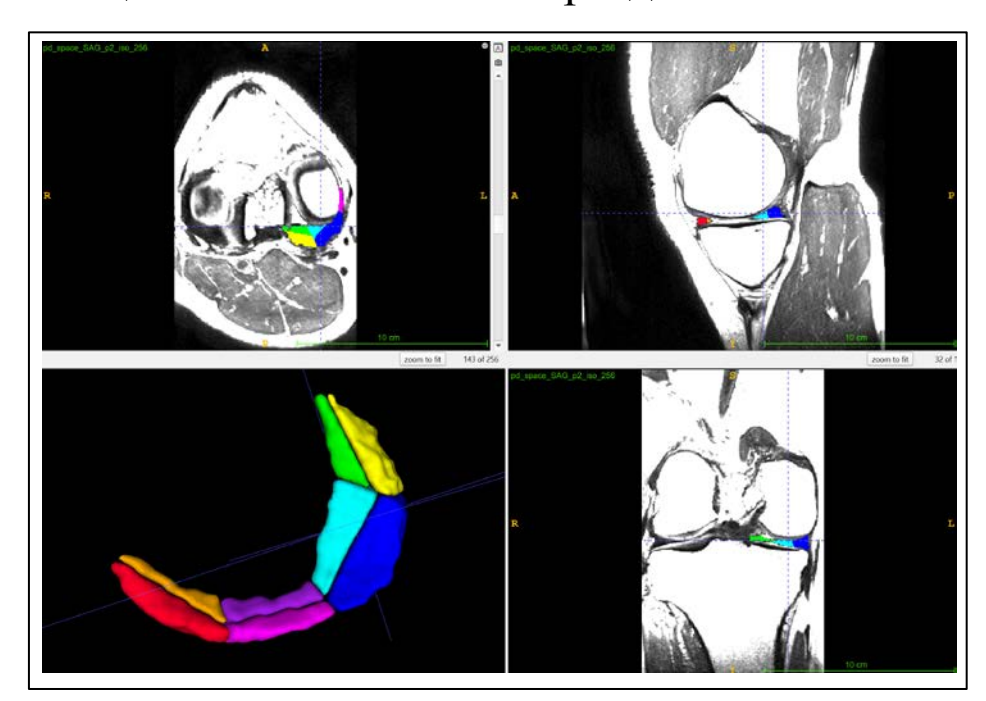
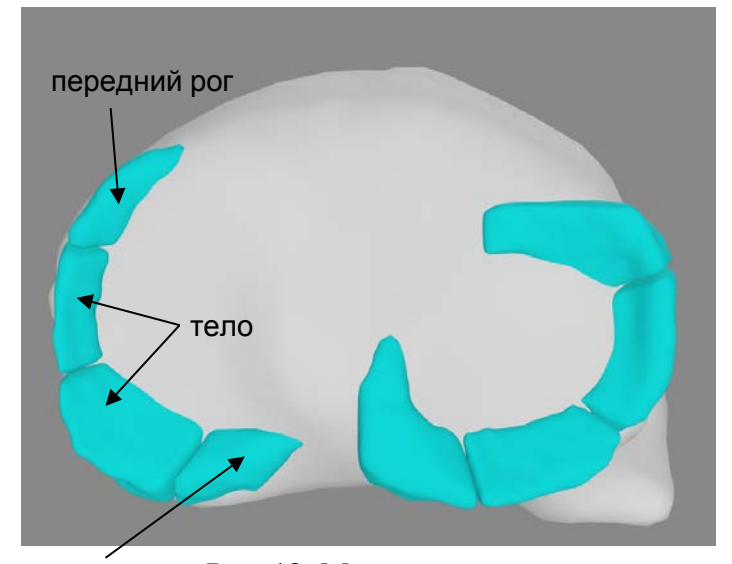


Рис. 10: Контактная поверхность на надколеннике

Мениски в модели физиологической нормы

Резекция мениска – мениск разделен на 4 части.





задний рог Рис. 12: Мениски в модели

Рис. 11: Резекция мениска

Сетки контактных поверхностей

- 1. Выделение поверхности (Paraview);
- 2. Построения надстроек (GMSH);
- 3. Изменение параметров сеток (Paraview, MeshLab);
- 4. Внедрение сетки в модель коленного сустава в качестве контактных поверхностей.

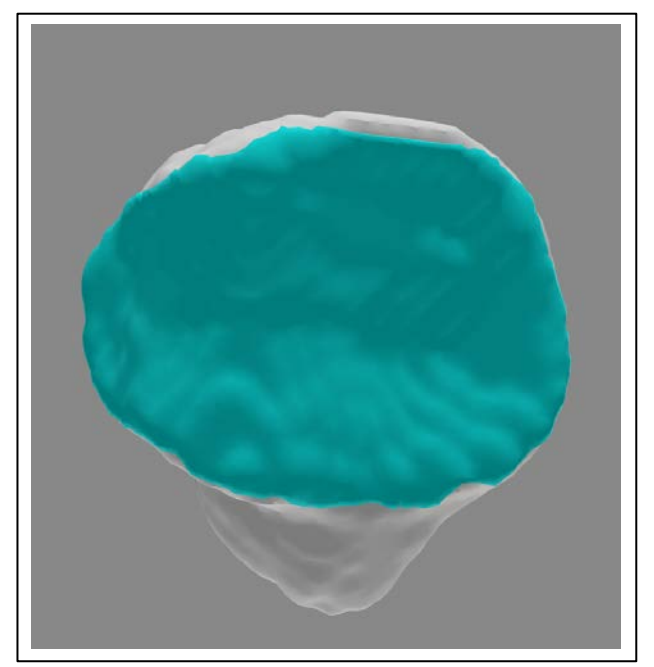


Рис. 13: Контактные поверхности в модели

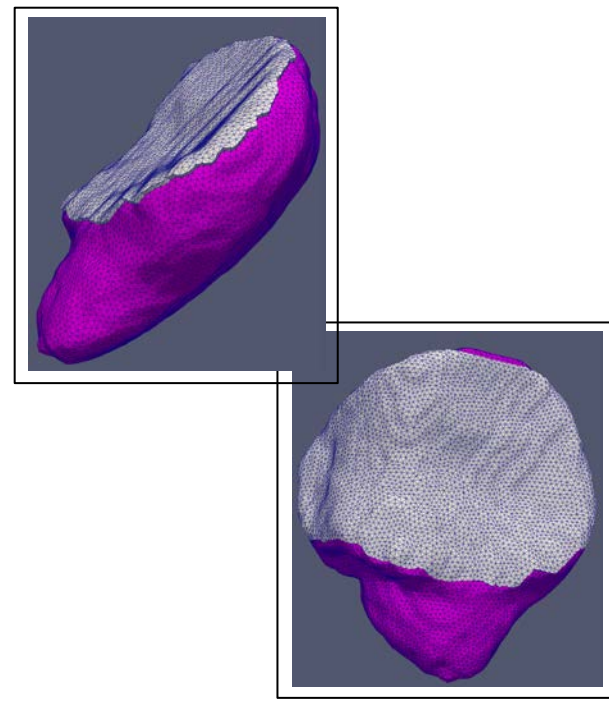
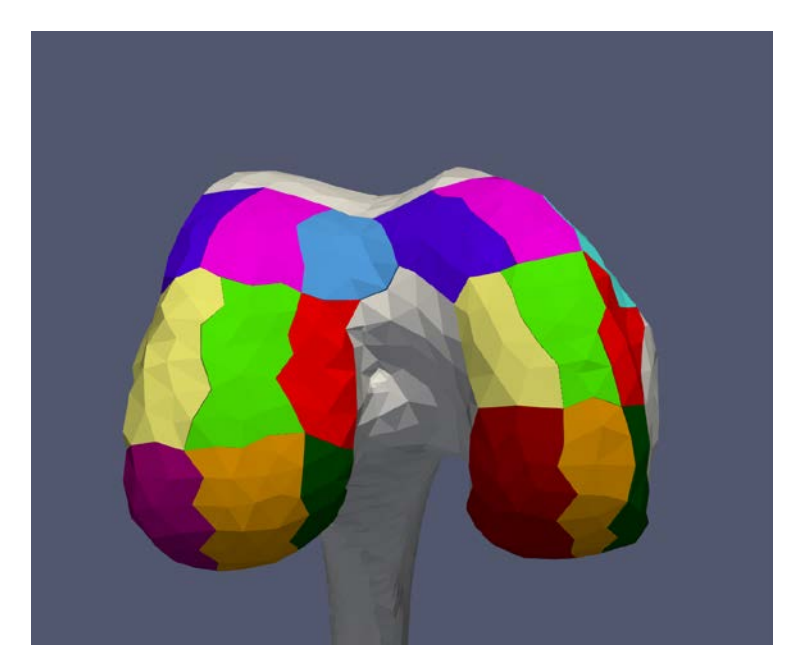


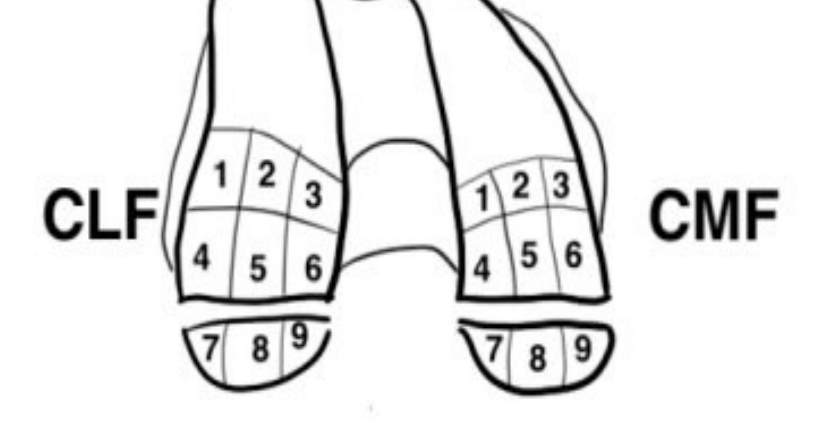
Рис. 14: Сетка контактной поверхности на надколеннике

Контактные поверхности на бедренной кости



латеральная (внешняя) сторона

медиальная (внутреняя) сторона



латеральная (внешняя) сторона

медиальная (внутреняя) сторона

Рис. 15: Пятна контакта

ElasticFoundationForce

ElasticFoundationForce – модель контактного контактная поверхность взаимодействия. на надколеннике контактная поверхность Модель реализует контакт на берцовой кости по модели упругого основания. контактная контактная поверхность на бедренной кости поверхность Сила реакции сегментов мениска пропорциональна глубине проникновения. Рис 16. Контактные

> поверхности в модели

Персонализированная модель коленного сустава в физиологической норме



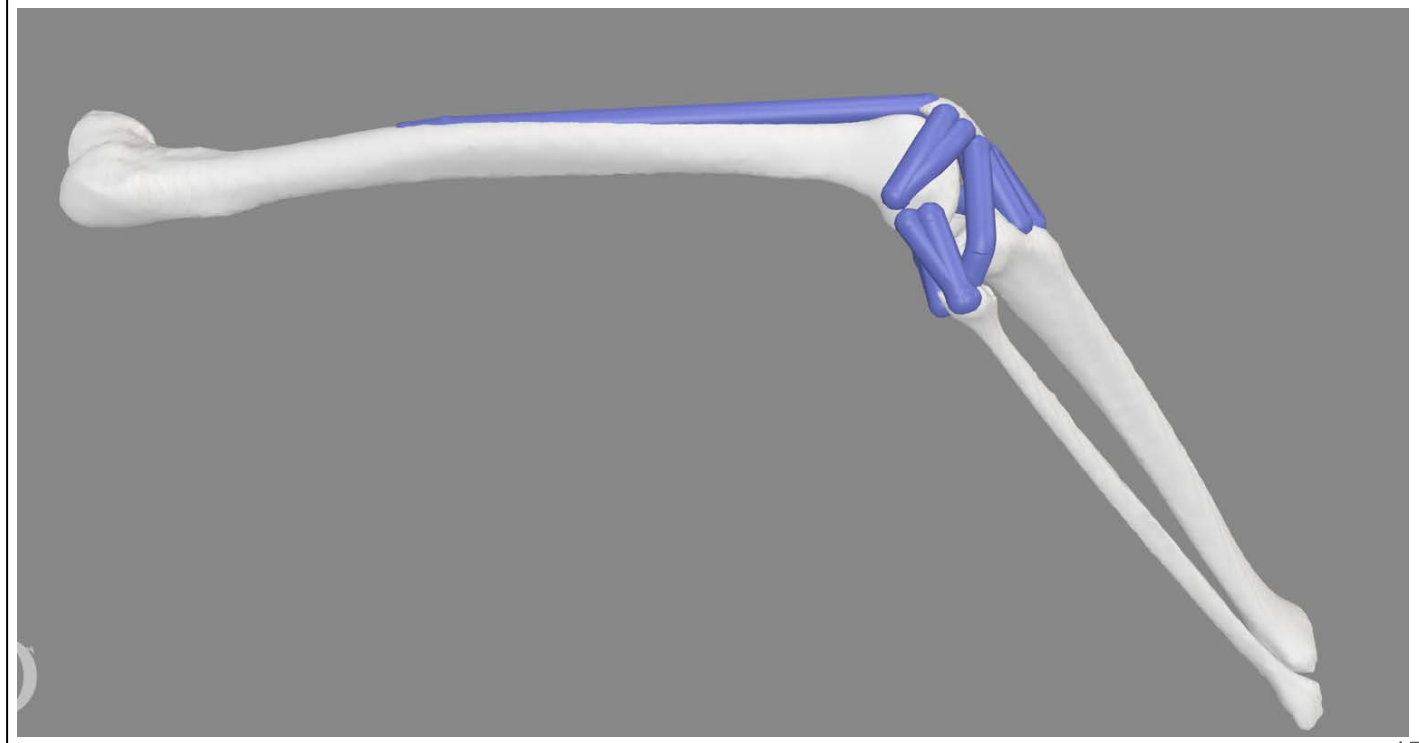


Рис. 17: Модель коленного сустава

Forward Dynamics

Forward Dynamics — инструмент OpenSim, позволяющий анализировать, как изменяются обобщенные координаты и скорости под действием сил и моментов. Он используется в биомеханическом моделировании, в том числе для расчета нагрузки на на бедренную кость и мениски при пассивном сгибании колена.

Основу метода составляет второй закон Ньютона, представленный в виде уравнения:

$$\ddot{q} = [M(\bar{q})]^{-1} * \{ \tau + \mathcal{C}(\bar{q}, \dot{\bar{q}}) + G(\bar{q}) + F \}$$

где:

- \bar{q} , $\dot{\bar{q}}$ векторы обобщенных координат, скоростей и ускорений;
- M(q) матрица масс системы;
- $C(\bar{q}, \dot{\bar{q}})$ вектор Кориолисовых и центростремительных сил;
- G(q) вектор гравитационных сил;
- τ крутящий момент;
- F дополнительные силы (например, упругость связок, контактные взаимодействия).

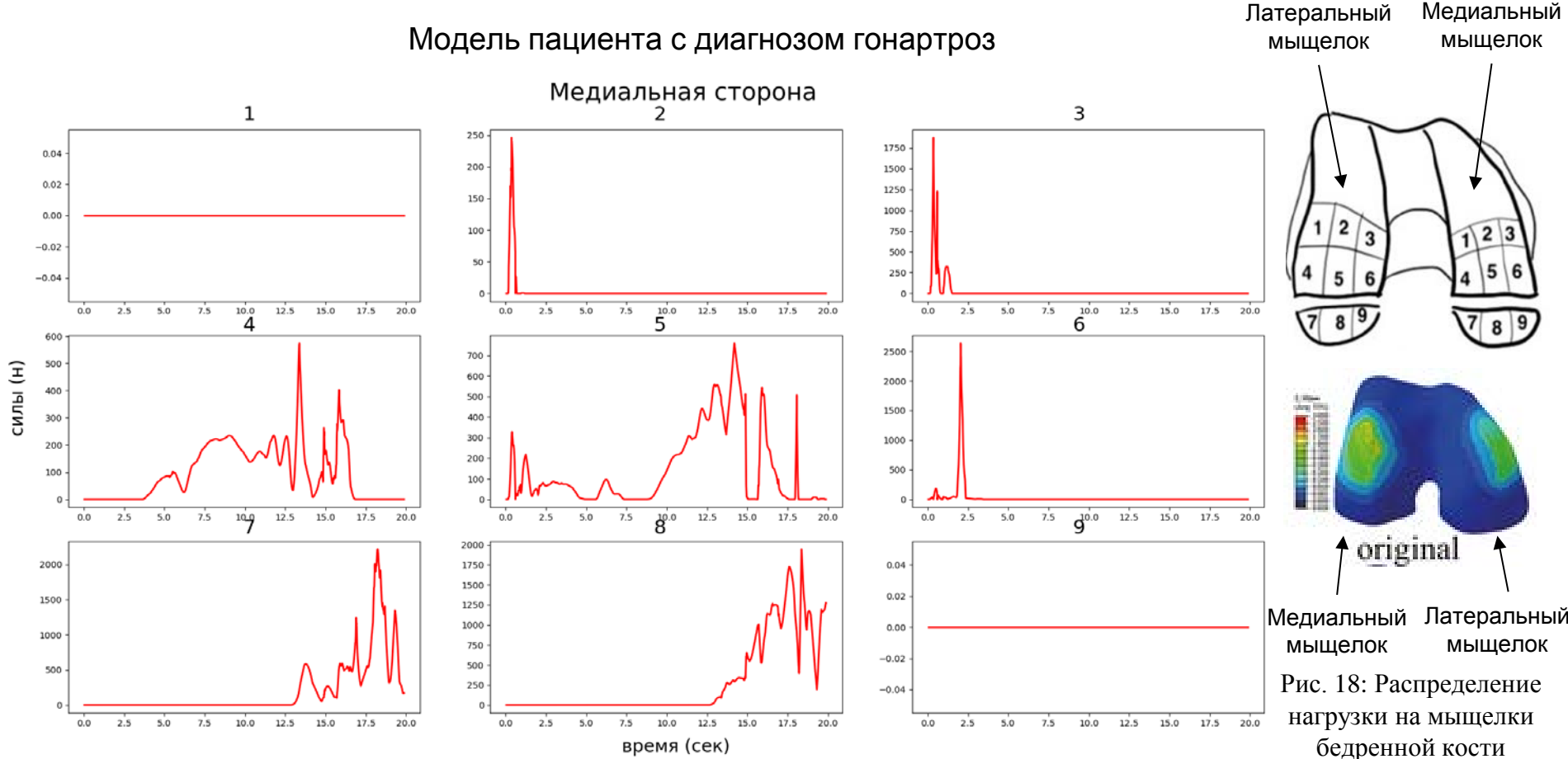


График 1: Контактные силы между большеберцовой костью

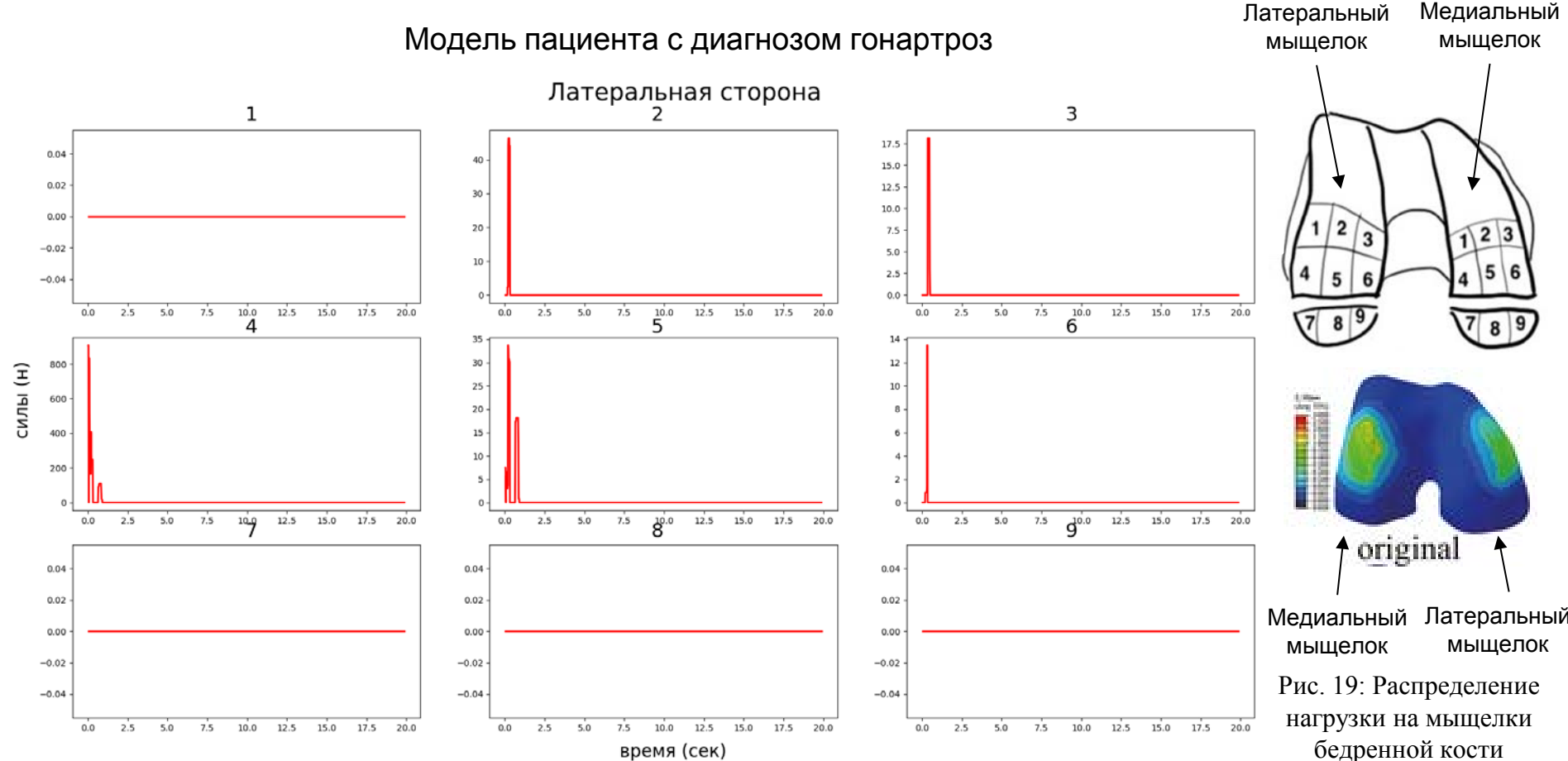


График 2: Контактные силы между большеберцовой костью

Вывод: модель пациента с диагнозом гонартроз

- Наибольшая нагрузка приходится на контактные поверхности большеберцовой и бедренной костей, расположенные на латеральной и внутренней части медиального мыщелка.
- Контакт латерального мыщелка бедренной кости с большеберцовой костью минимален.
- Полученные при помощи моделирования результаты совпадают с клиническими наблюдениями и данными публикаций.

Модели вальгусной и варусной деформации



Рис. 20: Модель вальгусной деформации с углом отклонения 8 градусов

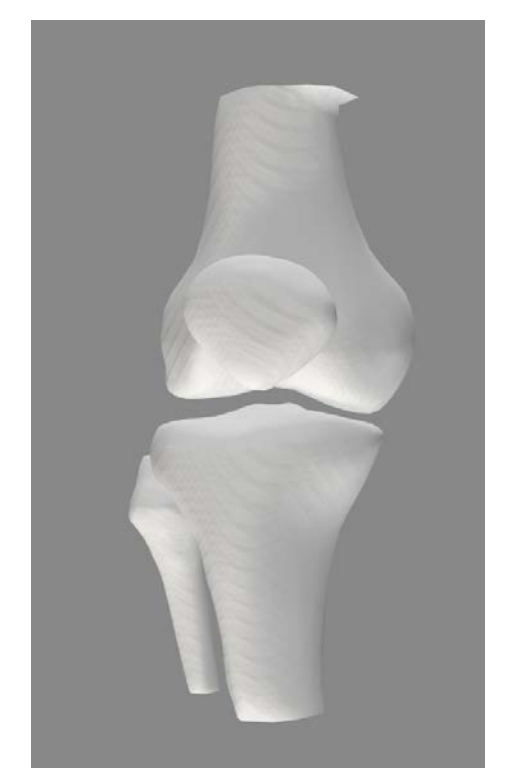


Рис. 21: Модель варусной деформации с углом отклонения 4 градуса

Модель варусная деформация, 2 градуса

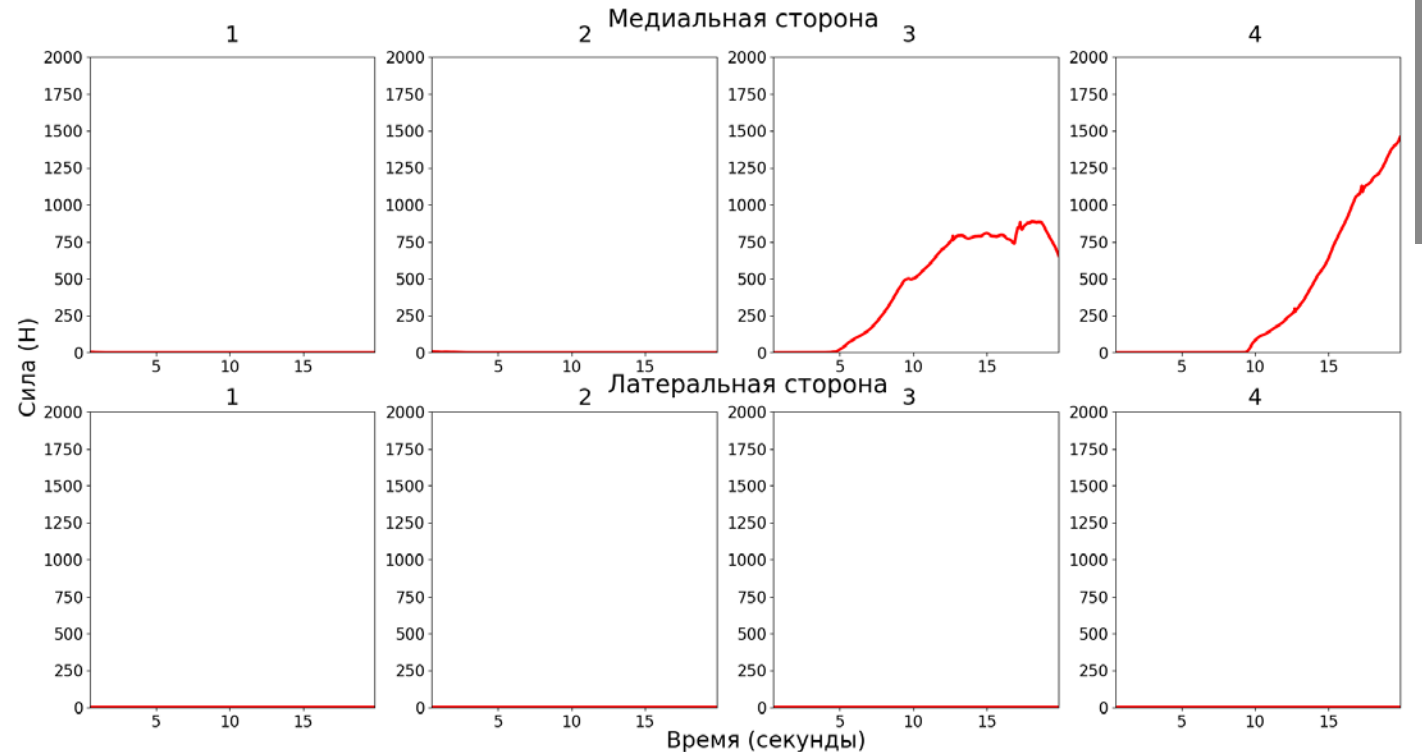


График 3: Контактные силы между сегментами менисков и бедренной костью

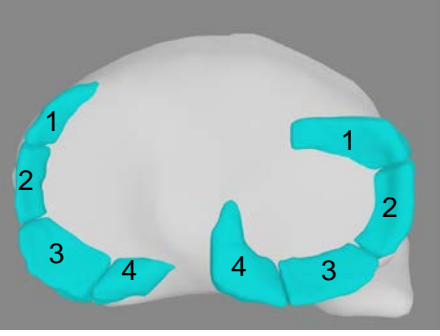
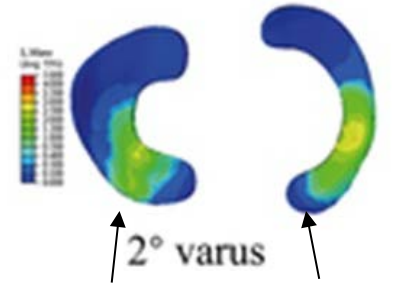
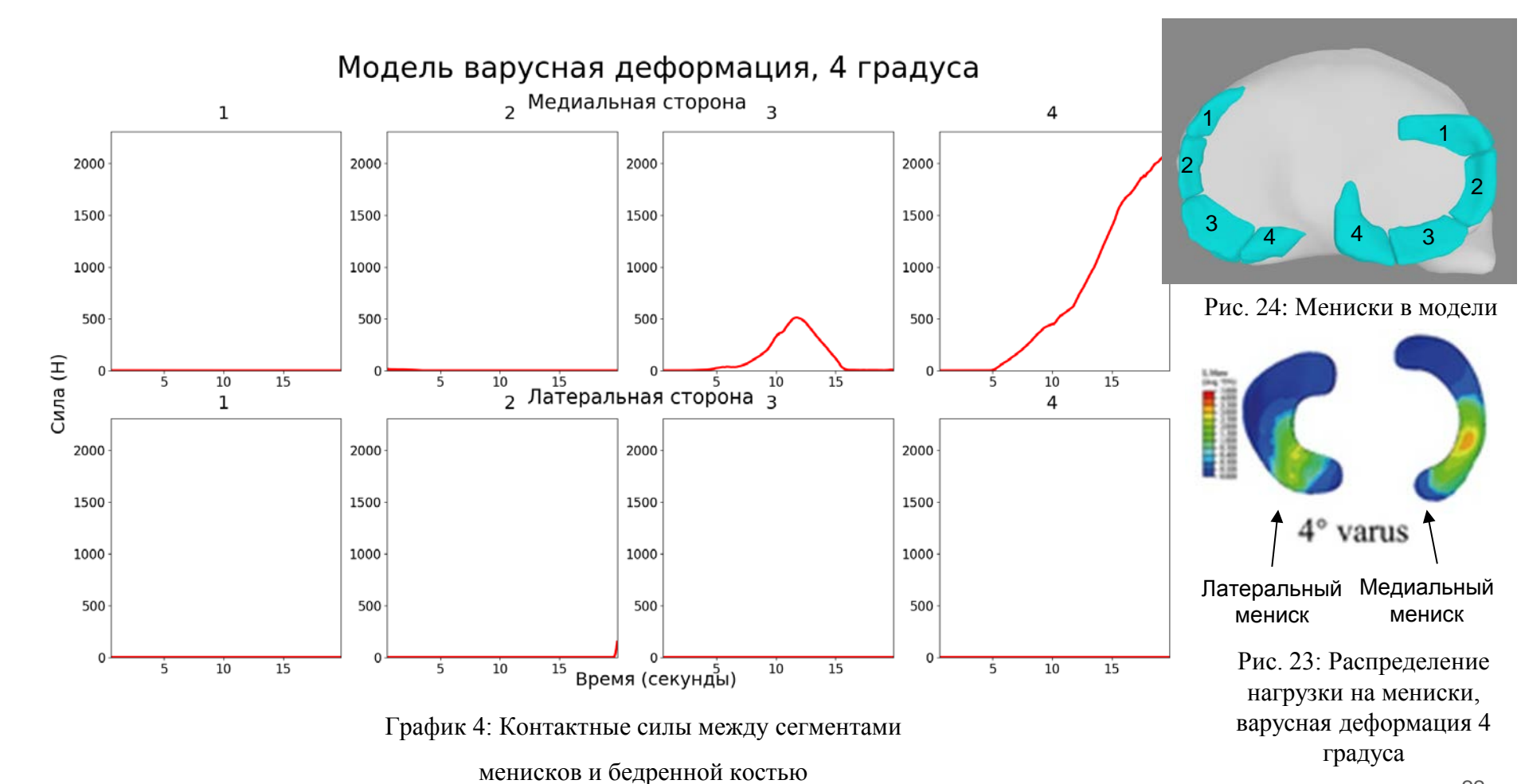


Рис. 24: Мениски в модели



Латеральный Медиальный мениск мениск

Рис. 22: Распределение нагрузки на мениски, варусная деформация 2 градуса



22

Вывод: модель варусной деформации

При увеличении угла варусной деформации:

- Давление на задний рог медиального мениска увеличивается.
- Давление на тело медиального мениска уменьшается.
- Давление на латеральный мениска отсутствует.
- Полученные при помощи моделирования результаты совпадают с клиническими наблюдениями и данными публикаций.

Модель вальгусная деформация, 2 градуса

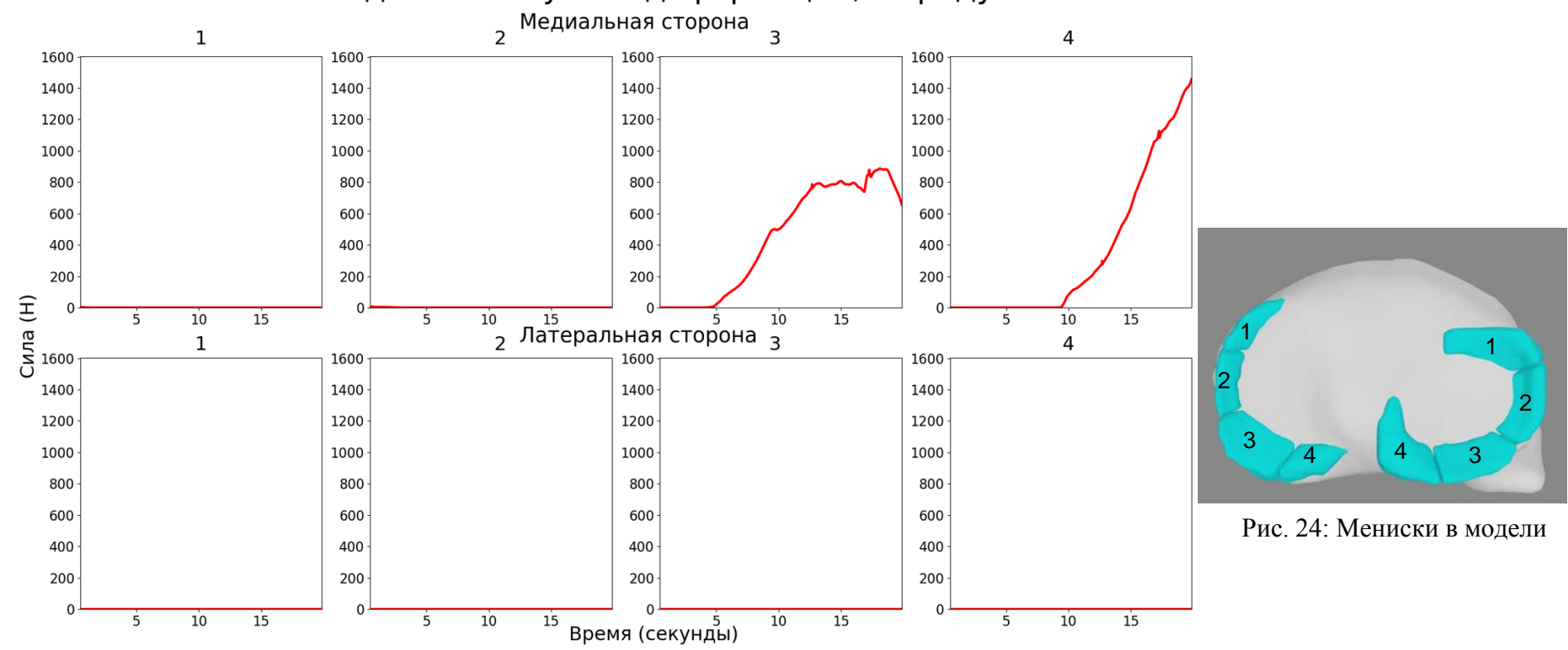


График 5: Контактные силы между сегментами

менисков и бедренной костью

Модель вальгусная деформация, 4 градуса

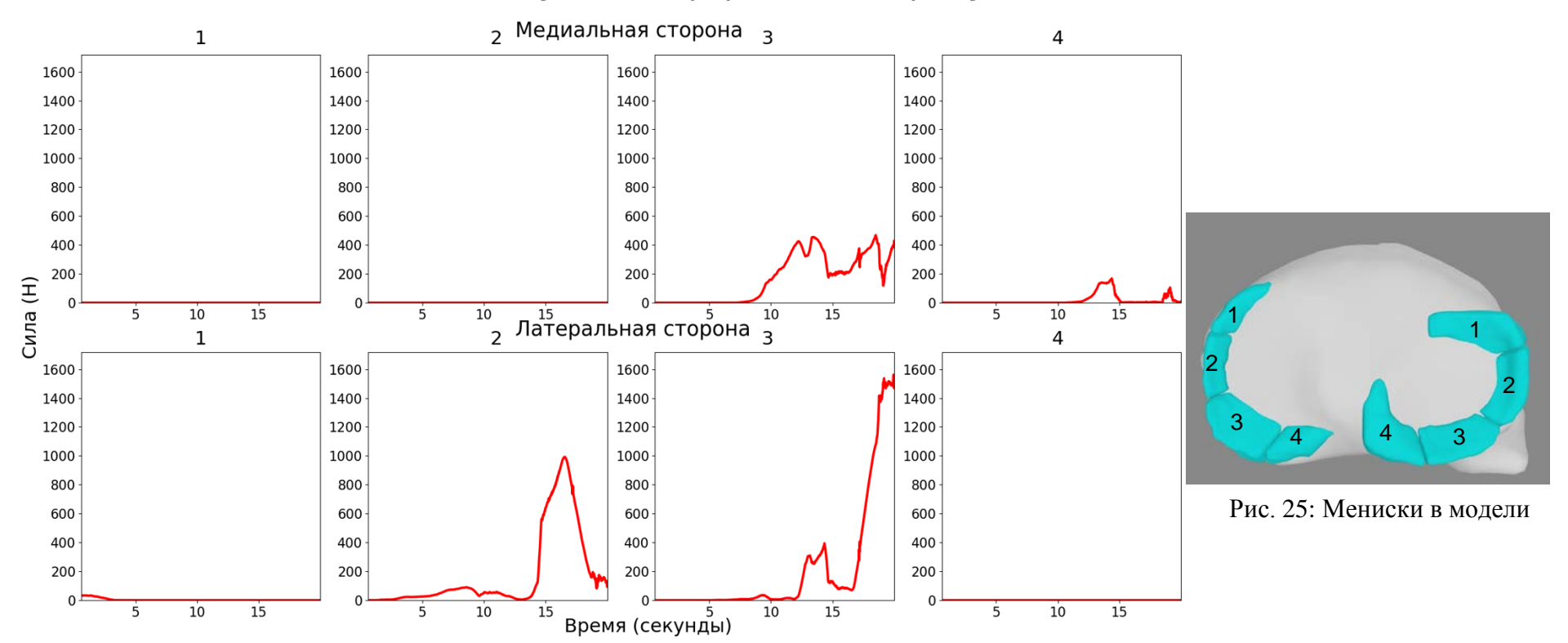


График 6: Контактные силы между сегментами

Модель вальгусная деформация, 6 градусов

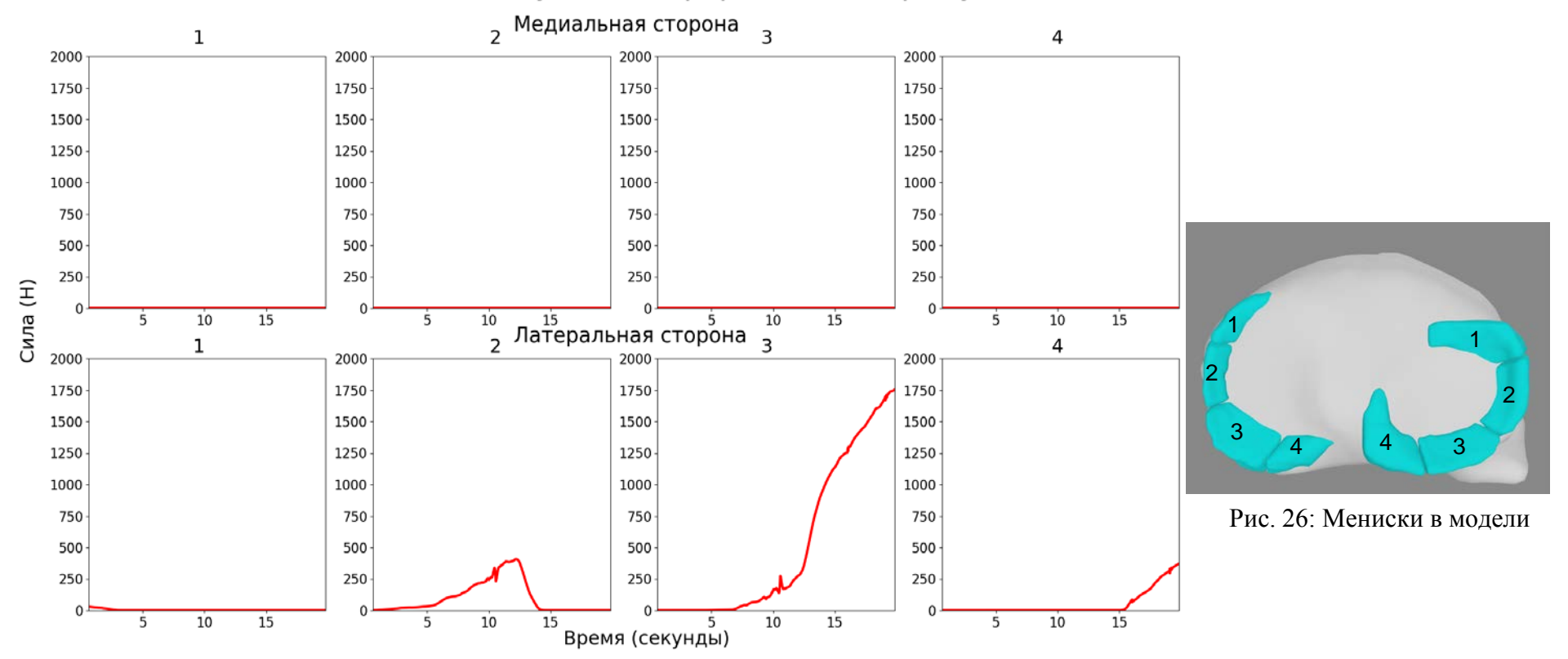


График 7: Контактные силы между сегментами

Модель вальгусная деформация, 8 градусов

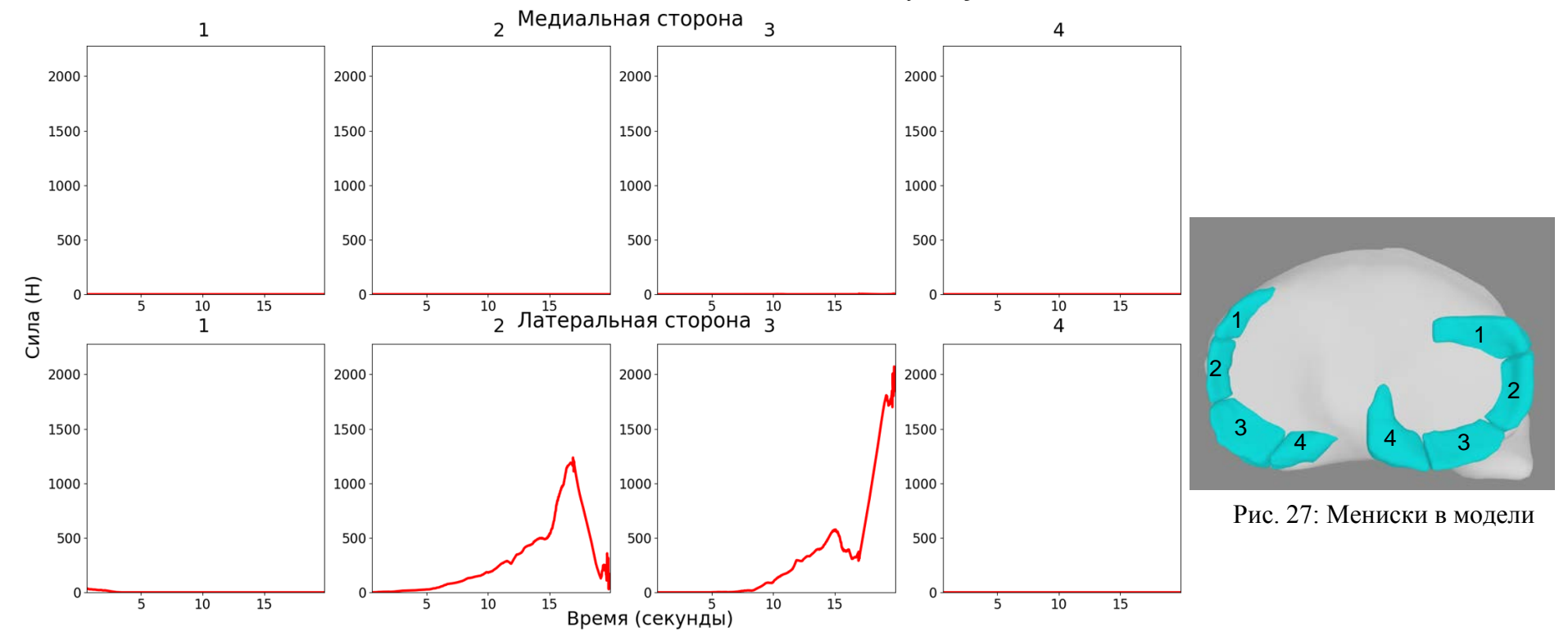


График 8: Контактные силы между сегментами

менисков и бедренной костью

Вывод: модель вальгусной деформации

При увеличении угла вальгусной деформации:

- Давление на тело латерального мениска увеличивается,
- Давление на медиальный мениск пропадает.
- Полученные при помощи моделирования результаты совпадают с клиническими наблюдениями и данными публикаций.

Результаты

- Построена персонализированная модель пациента с диагнозом гонартроз (модель не включает мениски).
- Построена персонализированная модель пациента с коленным суставом в физиологической норме (модель включает мениск), модифицирована для воспроизведения различных степеней варусной и вальгусной деформаций коленного сустава.
- Проведена валидация моделей.

Результаты валидации

- На основе биомеханической модели пациента с диагнозом гонартроз было выявлено, что наибольшая нагрузка приходится на контактные поверхности большеберцовой и бедренной костей, расположенные на латеральной и внутренней части медиального мыщелка. Контакт латерального мыщелка бедренной кости с большеберцовой костью минимален.
- При увеличении угла варусной деформации давление перераспределяется таким образом, что наибольшая нагрузка приходится на задний рог медиального мениска.
- При увеличении угла вальгусной деформации давление на тело латерального мениска увеличивается, а нагрузка на медиальный мениск пропадает.

Forward Dynamics

В данной работе расчет производился через дифференциально-алгебраические уравнения, которые описывают, как силы влияют на движение тела: начальные условия - положение тела и силы; расчет через численный метод Runge-Kutta 5 порядка, повтор расчета каждую 0.001 секунду.

Ограничения инструмента:

- Чувствительность к начальным условиям (неверное задание параметров связок, контактных сил);
- Медленный расчет при усложнении моделей.